

1 Цель работы

Реализовать алгоритм хэширования SIMD.

2 Описание алгоритма

2.1 Поле F_{257}

Т.к. 257 — простое число, то кольцо Z_{257} по модулю целого числа 257 — поле F_{257} . Операции в этом поле обозначаются как $(\bmod 257)$. Данное поле было выбрано потому, что можно легко сопоставить байт в элемент поля, а операции могут быть выполнены эффективно в программном обеспечении и аппаратных средствах.

2.2 The Number-Theoretic Transform (NTT)

NTT размера n в поле F_{257} определено как

$$NTT_n: F_{257}^n \rightarrow F_{257}^n$$
$$(x_j)_{j=0}^{n-1} \rightarrow (y_i)_{i=0}^{n-1}: y_i = \sum_{j=0}^{n-1} x_j w^{ij}$$

где $n \leq 256$ и w — n -ый корень из единицы в поле F_{257} .

2.3 Кольца $Z_{2^{16}}$ и $Z_{2^{32}}$

$Z_{2^{16}}$ обозначает кольцо по модулю целого числа 2^{16} , и $Z_{2^{32}}$ — кольцо по модулю целого числа 2^{32} .

Сложение по модулю производится в кольце $Z_{2^{32}}$ (32-битные слова), а умножение — в кольце $Z_{2^{16}}$ (16-битные слова).

Также, определен циклический сдвиг влево 32-битного слова на s бит как $x^{<<< s}$.

2.4 Булевы функции

Следующие булевы функции будут использоваться для 32-битных слов.

$$IF(A, B, C) = (A \wedge B) \vee (\neg A \wedge C)$$

$$MAJ(A, B, C) = (A \wedge B) \vee (A \wedge C) \vee (B \wedge C)$$

где \wedge — логическое «И», \vee — логическое «ИЛИ», \neg — логическое «НЕ».

2.5 Еще некоторые обозначения

Т.к. функция сжатия состоит из повторяющихся простых функций раунда, будет использоваться $X^{(i)}$, чтобы обозначить переменную X , связанную с i -ым раундом.

Многие переменные могут быть представлены в виде вектора, поэтому $X_{[0..k]}$ будет обозначать $[X_0, X_1, \dots, X_k]$.

2.6 SIMD

Размер выходного блока n, бит	Размер входного блока m, бит	Размер внутреннего состояния p, бит
256	512	512

SIMD — итеративная хэш функция, довольно похожая на семейство функций MD/SHA. Она основана на структуре Меркла-Дамгарда. Основной компонентой является функция сжатия $C: \{0,1\}^p \times \{0,1\}^m \rightarrow \{0,1\}^p$. Чтобы вычислить $h(M)$, сообщение M , разбивается на k частей по m бит. Функция сжатия построена на основе сети Фейстеля в режиме Девиса-Мейера (рис. 2).

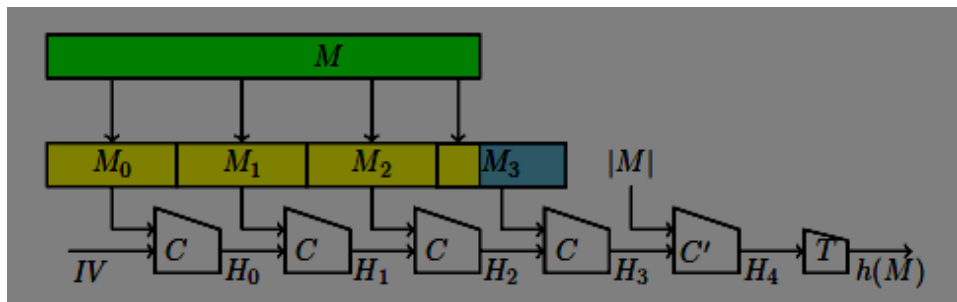


Рис. 1 Общий вид

структуры алгоритма SIMD

Внутреннее состояние представляется матрицей из 32-битных слов. Для SIMD-256 это матрица 4×4 :

$$S_{256} = \begin{bmatrix} A_0 & B_0 & C_0 & D_0 \\ A_1 & B_1 & C_1 & D_1 \\ A_2 & B_2 & C_2 & D_2 \\ A_3 & B_3 & C_3 & D_3 \end{bmatrix}$$

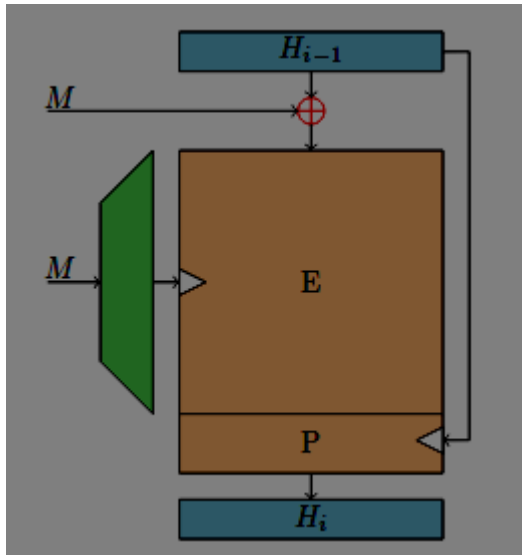


Рис. 2 Структура Девиса-Мейера

2.7 Расширение сообщения

Данная процедура является очень важной частью алгоритма. Расширение сообщения составлено из трех стадий.

2.7.1 Первая стадия: Number-Theoretic Transform

Первая стадия является вычислительно сложной, но это необходимо сделать.

$$(Z_{2^8})^{64} \rightarrow (F_{257})^{128}$$

$$(x_j)_{j=0}^{63} \rightarrow (y_i)_{i=0}^{127}: y_i = \sum_{j=0}^{63} x_j a^{ij} + a^{127i} (\text{mod } 257)$$

где $a = 139$ — это корень 128-ой степени из единицы в поле F_{257} .

2.7.2 Вторая стадия

$$I_c \rightarrow C \times x (\text{mod } 2^{16})$$

$$I_{185}: x \rightarrow 185 \times \tilde{x} (\text{mod } 2^{16})$$

$$I_{233}: x \rightarrow 233 \times \tilde{x} (\text{mod } 2^{16})$$

где $-128 \leq \tilde{x} \leq 128$ и $\tilde{x} = x (\text{mod } 257)$

2.7.3 Третья стадия: перестановка

Здесь два 16-битных слова объединяются в одно 32-битное слово. $I_c(x, y) = I_c(x) + 2^{16} I_c(y)$ отражает данную процедуру.

Для того, чтобы усилить расширение сообщения, необходимо выполнить перестановку.

$$Z_j^{(i)} = \begin{cases} I_{185}(y[8i + 2j], y[8i + 2j + 1]), & 0 \leq i \leq 15 \\ I_{233}(y[8i + 2j - 128], y[8i + 2j - 64]), & 16 \leq i \leq 23 \\ I_{233}(y[8i + 2j - 191], y[8i + 2j - 127]), & 24 \leq i \leq 31 \end{cases}$$

Наконец, сделаем перестановку строк матрицы Z с помощью следующей функции:

$$W_j^{(i)} = Z_j^{(P(i))}$$

где $P(i)$ — фиксированное, и берется из таблицы 1.

Таблица 1

i	0	1	2	3	4	5	6	7	8	9	10	11	12	13	14	15
$P(i)$	4	6	0	2	7	5	3	1	15	11	12	8	9	13	10	14

i	16	17	18	19	20	21	22	23	24	25	26	27	28	29	30	31
$P(i)$	17	18	23	20	22	21	16	19	30	24	25	31	27	29	28	26

Полное расширение сообщения можно увидеть в таблице 2.

Таблица 2

i	$W_0^{(i)}$	$W_1^{(i)}$	$W_2^{(i)}$	$W_3^{(i)}$
0	$I_{185}(y_{32}, y_{33})$	$I_{185}(y_{34}, y_{35})$	$I_{185}(y_{36}, y_{37})$	$I_{185}(y_{38}, y_{39})$
1	$I_{185}(y_{48}, y_{49})$	$I_{185}(y_{50}, y_{51})$	$I_{185}(y_{52}, y_{53})$	$I_{185}(y_{54}, y_{55})$
2	$I_{185}(y_0, y_1)$	$I_{185}(y_2, y_3)$	$I_{185}(y_4, y_5)$	$I_{185}(y_6, y_7)$
3	$I_{185}(y_{16}, y_{17})$	$I_{185}(y_{18}, y_{19})$	$I_{185}(y_{20}, y_{21})$	$I_{185}(y_{22}, y_{23})$
4	$I_{185}(y_{56}, y_{57})$	$I_{185}(y_{58}, y_{59})$	$I_{185}(y_{60}, y_{61})$	$I_{185}(y_{62}, y_{63})$
5	$I_{185}(y_{40}, y_{41})$	$I_{185}(y_{42}, y_{43})$	$I_{185}(y_{44}, y_{45})$	$I_{185}(y_{46}, y_{47})$
6	$I_{185}(y_{24}, y_{25})$	$I_{185}(y_{26}, y_{27})$	$I_{185}(y_{28}, y_{29})$	$I_{185}(y_{30}, y_{31})$
7	$I_{185}(y_8, y_9)$	$I_{185}(y_{10}, y_{11})$	$I_{185}(y_{12}, y_{13})$	$I_{185}(y_{14}, y_{15})$
8	$I_{185}(y_{120}, y_{121})$	$I_{185}(y_{122}, y_{123})$	$I_{185}(y_{124}, y_{125})$	$I_{185}(y_{126}, y_{127})$
9	$I_{185}(y_{88}, y_{89})$	$I_{185}(y_{90}, y_{91})$	$I_{185}(y_{92}, y_{93})$	$I_{185}(y_{94}, y_{95})$
10	$I_{185}(y_{96}, y_{97})$	$I_{185}(y_{98}, y_{99})$	$I_{185}(y_{100}, y_{101})$	$I_{185}(y_{102}, y_{103})$
11	$I_{185}(y_{64}, y_{65})$	$I_{185}(y_{66}, y_{67})$	$I_{185}(y_{68}, y_{69})$	$I_{185}(y_{70}, y_{71})$
12	$I_{185}(y_{72}, y_{73})$	$I_{185}(y_{74}, y_{75})$	$I_{185}(y_{76}, y_{77})$	$I_{185}(y_{78}, y_{79})$
13	$I_{185}(y_{104}, y_{105})$	$I_{185}(y_{106}, y_{107})$	$I_{185}(y_{108}, y_{109})$	$I_{185}(y_{110}, y_{111})$
14	$I_{185}(y_{80}, y_{81})$	$I_{185}(y_{82}, y_{83})$	$I_{185}(y_{84}, y_{85})$	$I_{185}(y_{86}, y_{87})$
15	$I_{185}(y_{112}, y_{113})$	$I_{185}(y_{114}, y_{115})$	$I_{185}(y_{116}, y_{117})$	$I_{185}(y_{118}, y_{119})$
16	$I_{233}(y_8, y_{72})$	$I_{233}(y_{10}, y_{74})$	$I_{233}(y_{12}, y_{76})$	$I_{233}(y_{14}, y_{78})$
17	$I_{233}(y_{16}, y_{80})$	$I_{233}(y_{18}, y_{82})$	$I_{233}(y_{20}, y_{84})$	$I_{233}(y_{22}, y_{86})$
18	$I_{233}(y_{56}, y_{120})$	$I_{233}(y_{58}, y_{122})$	$I_{233}(y_{60}, y_{124})$	$I_{233}(y_{62}, y_{126})$
19	$I_{233}(y_{32}, y_{96})$	$I_{233}(y_{34}, y_{98})$	$I_{233}(y_{36}, y_{100})$	$I_{233}(y_{38}, y_{102})$
20	$I_{233}(y_{48}, y_{112})$	$I_{233}(y_{50}, y_{114})$	$I_{233}(y_{52}, y_{116})$	$I_{233}(y_{54}, y_{118})$
21	$I_{233}(y_{40}, y_{104})$	$I_{233}(y_{42}, y_{106})$	$I_{233}(y_{44}, y_{108})$	$I_{233}(y_{46}, y_{110})$
22	$I_{233}(y_0, y_{64})$	$I_{233}(y_2, y_{66})$	$I_{233}(y_4, y_{68})$	$I_{233}(y_6, y_{70})$
23	$I_{233}(y_{24}, y_{88})$	$I_{233}(y_{26}, y_{90})$	$I_{233}(y_{28}, y_{92})$	$I_{233}(y_{30}, y_{94})$
24	$I_{233}(y_{49}, y_{113})$	$I_{233}(y_{51}, y_{115})$	$I_{233}(y_{53}, y_{117})$	$I_{233}(y_{55}, y_{119})$
25	$I_{233}(y_1, y_{65})$	$I_{233}(y_3, y_{67})$	$I_{233}(y_5, y_{69})$	$I_{233}(y_7, y_{71})$
26	$I_{233}(y_9, y_{73})$	$I_{233}(y_{11}, y_{75})$	$I_{233}(y_{13}, y_{77})$	$I_{233}(y_{15}, y_{79})$
27	$I_{233}(y_{57}, y_{121})$	$I_{233}(y_{59}, y_{123})$	$I_{233}(y_{61}, y_{125})$	$I_{233}(y_{63}, y_{127})$
28	$I_{233}(y_{25}, y_{89})$	$I_{233}(y_{27}, y_{91})$	$I_{233}(y_{29}, y_{93})$	$I_{233}(y_{31}, y_{95})$
29	$I_{233}(y_{41}, y_{105})$	$I_{233}(y_{43}, y_{107})$	$I_{233}(y_{45}, y_{109})$	$I_{233}(y_{47}, y_{111})$
30	$I_{233}(y_{33}, y_{97})$	$I_{233}(y_{35}, y_{99})$	$I_{233}(y_{37}, y_{101})$	$I_{233}(y_{39}, y_{103})$
31	$I_{233}(y_{17}, y_{81})$	$I_{233}(y_{19}, y_{83})$	$I_{233}(y_{21}, y_{85})$	$I_{233}(y_{23}, y_{87})$

2.8 Лестница Фейстеля

Функция сжатия основана на структуре Фейстеля, раунд которой представлен на рисунке 3.

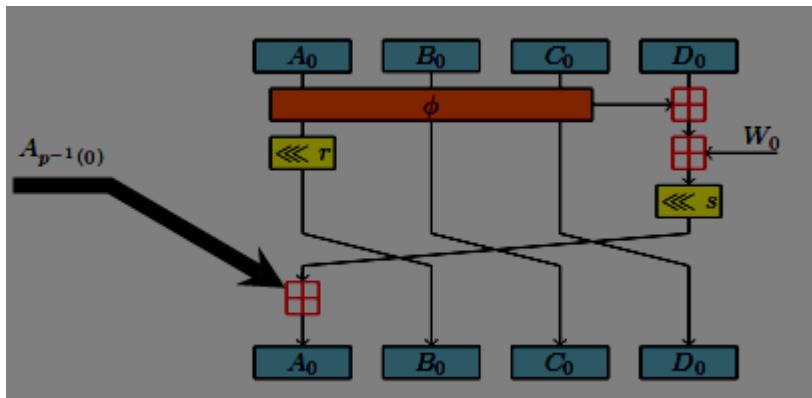


Рис. 3 Схема одного раунда

$$A_j^{(i)} = (D_j^{(i-1)} + W_j^{(i)} + \varphi^{(i)}(A_j^{(i-1)}, B_j^{(i-1)}, C_j^{(i-1)})) \lll s^{(i)} + A_{p^{(i)}(j)}^{(i-1)} \lll r^{(i)} \pmod{2^{32}}$$

где $\varphi^{(i)}$ — одна из булевых функций, описанных в п.2.4.

$$B_j^{(i)} = A_j^{(i-1)} \lll r^{(i)}$$

$$C_j^{(i)} = B_j^{(i-1)}$$

$$D_j^{(i)} = C_j^{(i-1)}$$

Для i -го шага: $p^{(i \bmod 3)}$

	j	0	1	2	3
$p^{(0)}(j) = j \oplus 1$	$p^{(0)}(j)$	1	0	3	2
$p^{(1)}(j) = j \oplus 2$	$p^{(1)}(j)$	2	3	0	1
$p^{(2)}(j) = j \oplus 3$	$p^{(2)}(j)$	3	2	1	0

Один шаг функции можно представить в виде:

$$\text{Step} \left(\begin{bmatrix} A_0 & B_0 & C_0 & D_0 \\ A_1 & B_1 & C_1 & D_1 \\ A_2 & B_2 & C_2 & D_2 \\ A_3 & B_3 & C_3 & D_3 \end{bmatrix}, \begin{bmatrix} W_0 \\ W_1 \\ W_2 \\ W_3 \end{bmatrix}, \phi, r, s, p \right) = \begin{bmatrix} (D_0 \boxplus W_0 \boxplus \phi(A_0, B_0, C_0)) \lll^s \boxplus A_{p(0)} \lll^r & A_0 \lll^r & B_0 & C_0 \\ (D_1 \boxplus W_1 \boxplus \phi(A_1, B_1, C_1)) \lll^s \boxplus A_{p(1)} \lll^r & A_1 \lll^r & B_1 & C_1 \\ (D_2 \boxplus W_2 \boxplus \phi(A_2, B_2, C_2)) \lll^s \boxplus A_{p(2)} \lll^r & A_2 \lll^r & B_2 & C_2 \\ (D_3 \boxplus W_3 \boxplus \phi(A_3, B_3, C_3)) \lll^s \boxplus A_{p(3)} \lll^r & A_3 \lll^r & B_3 & C_3 \end{bmatrix}$$

Блок из 8 шагов называется раундом и он имеет набор фиксированных параметров

$\pi_{[0..3]}$:

$\phi^{(i)}$	$r^{(i)}$	$s^{(i)}$					
IF	π_0	π_1					
IF	π_1	π_2					
IF	π_2	π_3					
IF	π_3	π_0					
MAJ	π_0	π_1					
MAJ	π_1	π_2					
MAJ	π_2	π_3					
MAJ	π_3	π_0					
			Round	π_0	π_1	π_2	π_3
			0	3	23	17	27
			1	28	19	22	7
			2	29	9	15	5
			3	4	13	10	25

2.9 Финальная функция сжатия

После того, как все блоки сообщения были сжаты, необходимо провести аналогичную процедуру. В качестве входных данных будет являться вектор, содержащий длину сообщения, а остальные байты равны нулю. Еще отличие в том, что для блока сообщения выполнялось: $O(M) = NTT_{128}(M + X^{127})$, а для финальной функции будет выполнено: $O'(M) = NTT_{128}(M + X^{127} + X^{125})$.

2.10 Инициализирующий вектор

В качестве инициализирующего вектора берутся следующие 64 байта:

SIMD-256 IV				
$A_{0..3}$	4d567983	07190ba9	8474577b	39d726e9
$B_{0..3}$	aaf3d925	3ee20b03	afd5e751	c96006d3
$C_{0..3}$	c2c2ba14	49b3bcb4	f67caf46	668626c9
$D_{0..3}$	e2eaa8d2	1ff47833	d0c661a5	55693de1

3 Описание реализации

3.1 Класс Reader

В конструктор передается имя файла, с которым будет производиться работа.

Обеспечивает чтение файла с помощью метода:

byte[] getBytes(int byteCount)

В качестве параметра указывается число байт, необходимых для считывания. Возвращает массив считанных байт. Если количество байт в файле меньше, указанного параметра, считывает то, что осталось, а остальное заполняет нулевыми байтами.

3.2 Класс Constants

Данный класс содержит все необходимые константы и таблицы.

3.3 Класс Converter

Содержит статические методы:

int combine(byte[] bytes)

Объединяет массив из четырех байт в целое число.

int[] byte2int(byte[] x)

Преобразует массив байт в массив целых чисел, объединяя четыре байта в одно число.

Размер полученного массива, естественно, меньше.

byte[] int2byte(int[] x)

Аналогично предыдущему методу, преобразует массив целых чисел в массив байт.

3.4 Класс HelpFunctions

Здесь присутствуют различные вспомогательные функции разного рода, не относящиеся напрямую к алгоритму.

byte[] getCapacityBytes(long x)

Метод преобразует размер сообщения в необходимые входные данные, т. е. в массив байт, заполняя пустые нулями.

int[] xor(int[] a, int[] b)

Выполняет операцию сложения по модулю 2 для массивов целых чисел.

void writeHashIntoFile(String filename, int[] s)

Выполняет запись результата хеширования в указанный файл.

int modulPow(int a, int b, int modul)

Возводит число a в степень b по модулю целого числа.

3.5 Класс Simd

Является главным классом. Основной метод:

void getHash(String filename, String output)

принимает на вход имя файла, содержащее сообщение, и имя файла, куда необходимо записать результат.

Метод **byte[] getIV()** загружает инициализирующий вектор из фиксированного файла.

Функция сжатия реализована в следующем методе:

int[] compression(int[] initVector, byte[] m, int f) {

```

int[] w = messageExpansion(m, f);
int[] msg = Converter.byte2int(m);
int[] s = HelpFunctions.xor(initVector, msg);

//steps: 0...31
int[] subPi = new int[4];
for (int i = 0; i < 4; i++) {
    subPi = Constants.PI[i];
    s = round(s, w, i, subPi);
}

//steps: 32...35
int[] inputVector = new int[4];
int nStep = Constants.STEPS_COUNT;
subPi = Constants.PI[3];
for (int i = 0; i < 4; i++) {
    inputVector[0] = initVector[4*i];
    inputVector[1] = initVector[4*i+1];
    inputVector[2] = initVector[4*i+2];
    inputVector[3] = initVector[4*i+3];
    s = step(s, inputVector, Constants.IF, subPi[i], subPi[(i+1) % 4], nStep);
    nStep++;
}

return s;
}

```

Метод, реализующий функцию раунда:

```

int[] round(int[] s, int[] w, int i, int[] pi) {
    s = step(s, w[8*i], Constants.IF, pi[0], pi[1], 8*i);
    s = step(s, w[8*i+1], Constants.IF, pi[1], pi[2], 8*i+1);
    s = step(s, w[8*i+2], Constants.IF, pi[2], pi[3], 8*i+2);
    s = step(s, w[8*i+3], Constants.IF, pi[3], pi[0], 8*i+3);
    s = step(s, w[8*i+4], Constants.MAJ, pi[0], pi[1], 8*i+4);
    s = step(s, w[8*i+5], Constants.MAJ, pi[1], pi[2], 8*i+5);
    s = step(s, w[8*i+6], Constants.MAJ, pi[2], pi[3], 8*i+6);
    s = step(s, w[8*i+7], Constants.MAJ, pi[3], pi[0], 8*i+7);
    return s;
}

```

Функция Step, описанная в п.2.8:

```

int[] step(int[] s, int[] w, int mode, int pi1, int pi2, int nStep) {
    int[] res = new int[16];
    long mod = 0x100000000L;
    for (int i = 0; i < 4; i++) {
        if (mode == Constants.IF) {
            long tmp = s[12+i] + w[i] + IF(s[i], s[4+i], s[8+i]);
            res[i] = (int) (tmp % mod);
        } else if (mode == Constants.MAJ) {

```



```

        long tmp = s[12+i] + w[i] + MAJ(s[i], s[4+i], s[8+i]);
        res[i] = (int) (tmp % mod);
    }
    res[i] = Integer.rotateLeft(res[i], pi2);
    int index = -1;
    switch (nStep % 3) {
        case 0:
            index = i ^ 1;
            break;
        case 1:
            index = i ^ 2;
            break;
        case 2:
            index = i ^ 3;
            break;
    }
    res[i] = (int) ((res[i] + Integer.rotateLeft(s[index], pi1)) % mod);
}
for (int i = 4; i < 8; i++) {
    res[i] = Integer.rotateLeft(s[i-4], pi1);
}
for (int i = 8; i < 16; i++) {
    res[i] = s[i-4];
}
return res;
}

```

Также присутствуют булевы функции:

```

int IF(int a, int b, int c) {
    return (a & b) | (~a & c);
}

int MAJ (int a, int b, int c) {
    return (a & b) | (a & c) | (b & c);
}

```

Метод, выполняющий расширение сообщения. В качестве параметра f указывается 0, если m — обычный блок сообщения, и — 1, если m — финальный блок, содержащий размер.

```

int[][] messageExpansion(byte[] m, int f) {
    int[] y;
    if (f == 0) {
        y = ntt(m, 0, 1);
    } else {
        y = ntt(m, 1, 1);
    }

    int[][] z = new int[32][4];
    for (int i = 0; i < 32; i++) {
        for (int j = 0; j < 4; j++) {
            z[i][j] = zCalculation(i, j, y);
        }
    }
}

```

```

int[][] w = new int[32][4];
for (int i = 0; i < 32; i++) {
    for (int j = 0; j < 4; j++) {
        w[i][j] = z[Constants.Z_PERMUTATION[i]][j];
    }
}
return w;
}

```

Метод, выполняющий Number-Theoretic Transform (NTT). Параметр *x125* равен 1 в случае обработки финального блока.

```

int[] ntt(byte[] x, int x125, int x127)
int zCalculation(int i, int j, int[] y)

```

Наконец, методы, необходимые для вычисления индексов, применяемые при перестановках. В качестве параметра *coef* указывается число 185 или 233.

```

int I_coef(int x, int y, int coef)
int I_coef(int x, int coef)

```

4 Пример

Воспользуемся примером, приведенным автором данного алгоритма.

00000000	00	01	02	03	04	05	06	07	08	09	0A	0B	0C	0D	0E	0F
00000010	10	11	12	13	14	15	16	17	18	19	1A	1B	1C	1D	1E	1F
00000020	20	21	22	23	24	25	26	27	28	29	2A	2B	2C	2D	2E	2F	!"#\$%&'()	*+,-./
00000030	30	31	32	33	34	35	36	37	38	39	3A	3B	3C	3D	3E	3F	0123456789	;<=>?

Рис. 4 Входные данные

00000000	83	79	56	4D	A9	0B	19	07	7B	57	74	84	E9	26	D7	39	.	yVM....{Wt..&.9
00000010	25	D9	F3	AA	03	0B	E2	3E	51	E7	D5	AF	D3	06	60	C9	%>Q.....`.
00000020	14	BA	C2	C2	B4	BC	B3	49	46	AF	7C	F6	C9	26	86	66IF. ..&.f	
00000030	D2	A8	EA	E2	33	78	F4	1F	A5	61	C6	D0	E1	3D	69	553x...a...=iU	

Рис. 5 Инициализирующий вектор

00000000	5B EB DB 81 6C D3 E6 C8 C2 B5 A4 28 67 A6 F4 15	[...l.....(g...
00000010	70 C4 B9 17 F1 D3 B1 5A AB C1 7F 24 67 9E 6A CD	p.....Z...\$g.j.

Рис. 6 Результирующая последовательность

Hash Function Output

5bebdb816cd3e6c8c2b5a42867a6f41570c4b917f1d3b15aabc17f24679e6acd

Рис.

7 Результат, приведенный автором теста